

応力誘起磁化反転型 MTJ 用の SmFe₂ 薄膜の磁歪特性向上

富田誠人, 石谷優剛, 高村陽太, 中川茂樹
(東工大)

Improvement of magnetostriiction of SmFe₂ thin film for strain assisted magnetization reversal for MTJ
M. Tomita, Y. Ishitani, Y. Takamura, and S. Nakagawa
(Tokyo Inst. Tech.)

1 はじめに

磁気トンネル接合(MTJ)素子は、磁化の相対方向によって抵抗値が変わるトンネル磁気抵抗(TMR)効果を示し、不揮発性メモリの情報記憶素子として期待される。しかし、情報書き換え時におけるスピントランスマートルク(STT)による磁化反転は、消費電力が大きい。そこで、負の超磁歪材料をMTJフリー層に使用し、圧電体素子と組み合わせることにより、逆磁歪効果を利用して消費電力を低減するMTJが提案されている¹⁾。本研究では、MTJフリー層に使用する負の超磁歪材料として、バルクで-2060 ppm程度の磁歪定数を持つSmFe₂を選択している。Ref.1)におけるシミュレーションにおいて、フリー層の磁歪定数は-1300 ppm程度が必要とされており、昨年までの本研究の報告では未達成であった。したがって今回、必要とされる約-1300 ppmを目指した、SmFe₂薄膜のさらなる磁歪定数の向上について検討したので報告する。

2 実験方法

薄膜は、対向ターゲット式スパッタ法により、厚さ30 μmのガラス基板上に室温～400°Cで成膜した。試料構造はGlass sub./W(20)/Sm_xFe₂(100)/W(10)とした。但し、括弧内は膜厚で単位はnmとする。ICP-OESにより組成比を評価し、Sm_xFe₂薄膜のxを同定した。結晶構造はXRDにより評価した。磁歪定数は、3Dプリンタで作製した専用の治具を用いて応力印加前後の磁化特性をVSMで測定することで評価した。

3 実験結果と考察

本概要では、Sm-rich組成にすることによる磁歪特性の変化について述べる。SmFe₂合金ターゲットをスパッタする際にターゲット上に置くSmチップの有無により、 $x \approx 0.95, 1.05$ の2種類のSm_xFe₂薄膜を作製した。なお、XRDの結果より、いずれの組成であっても成膜温度400°C以下では結晶化を確認できなかった。

Fig.1に、400°C成膜したSm_xFe₂薄膜の応力なしのとき(破線)と10 MPaの引張応力を印加したとき(実線)の磁化特性を示す。応力印加前は容易軸特性であったループが、引っ張り応力により困難軸特性に近づいているため、磁歪は負であり、 $x \approx 0.95$ のときと $x \approx 1.05$ のときでそれぞれ磁歪定数 λ は-890 ppmと-1200 ppmであった。成膜温度400°Cにおいて、Smの添加が応力印加によるエネルギー変化を大きくし、磁歪定数が負に向かっていることがわかる。また、飽和磁化 M_s もSmの添加によって減少している。Fig.2(a)は飽和磁化 M_s 、(b)は磁歪定数 λ の成膜温度依存性をそれぞれの x に対してプロットしたグラフである。 M_s は200°Cまでは x に対して変化が小さいが、400°Cにおいて差が開き、Sm組成が多い方が M_s が小さい。また、 M_s が低減された400°Cにおいて、 λ が負に大きく向上している。加えて、希土類元素であるSmは非常に酸化されやすいため、高温成膜においてはSmの一部はOと結合している可能性が高い。これらのことから、Smを添加することによって、Oと結合したSmを補い、 M_s の低減と λ の絶対値の向上が示されたと考えられる。

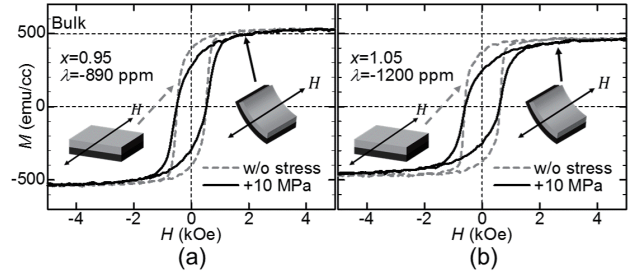


Fig. 1 M - H loops of the films with and without 10 MPa tensile stress for (a) $x \approx 0.95$ and (b) $x \approx 1.05$.

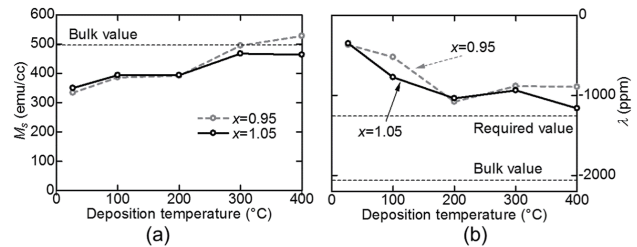


Fig. 2 Deposition temperature dependence of (a) saturation magnetization M_s and (b) magnetostriction constant λ .

References

- 1) Y. Takamura, Y. Shuto, S. Yamamoto, H. Funakubo, M. K. Kurosawa, S. Nakagawa, and S. Sugahara: *Solid-State Electronics*, **128**, 194-199 (2017).